

# Периодические решения феноменологического уравнения горения вдоль полосы

*Ибрагимов Сейдамет Дильяверович*

КРЫМСКИЙ ФЕДЕРАЛЬНЫЙ УНИВЕРСИТЕТ ИМЕНИ В.И. ВЕРНАДСКОГО  
ТАВРИЧЕСКАЯ АКАДЕМИЯ

ФАКУЛЬТЕТ МАТЕМАТИКИ И ИНФОРМАТИКИ  
КАФЕДРА ДИФФЕРЕНЦИАЛЬНЫХ УРАВНЕНИЙ И ГЕОМЕТРИИ (ГРУППА 602-М)

e-mail: seydametibragimov@gmail.com

Нестационарные режимы распространения фронта горения могут быть описаны феноменологическим уравнением вида

$$\ddot{\xi} + \xi = 2\delta \left( \dot{\xi} - \frac{4}{3}(\dot{\xi})^3 + \frac{\lambda^2}{4\pi^2} \Delta \xi + \frac{\lambda\beta}{2\pi} \sqrt{-\Delta \dot{\xi}} \right), \quad (1)$$

которое моделирует горение теплоизолированной полосы ширины  $l$ , т.е. уравнение 1 рассматривается на отрезке длины  $l$  с краевыми условиями:

$$\left. \frac{\partial \dot{\xi}}{\partial x} \right|_{x=0} = \left. \frac{\partial \dot{\xi}}{\partial x} \right|_{x=l} = 0 \quad (2)$$

Феноменологическое уравнение учитывает два основных фактора, относящихся к нестационарным процессам распространения фронта: наличие автоколебательной неустойчивости плоского фронта, стабилизируемой нелинейными эффектами, и наличие взаимодействия тепловых слоев, примыкающих к зоне экзотермических реакций. Структура этих слоев определяется не только скоростью и температурой прилегающего участка реакционной поверхности, но и распределением температуры вдоль всего фронта реакции. Подобные задачи ранее в своих работах исследовали Митропольский Ю.А., Мищенко Е.Ф., Колесов А.Ю., Алдушин А.П., Зельдович Я.Б., Маломед Б.А. [1],[2] Самойленко А.М., Белан Е.П. [3].

Рассматривая задачу 1 с краевыми условиями 2 и используя метод Галеркина, построим приближенные решения 1 в виде

$$\xi = y_0 \sin t + \sum_{k=1}^N y_k \cos k\theta \sin t, \quad (3)$$

где  $\theta = \frac{\pi x}{l}$ ,  $y_k(t)$ ,  $k = 0, 1, \dots$ , удовлетворяют уравнению

$$\dot{y}_k = \delta(\alpha_k y_k + C_3^k(y)). \quad (4)$$

Здесь  $\alpha_k = 1 - \frac{\lambda^2}{4l^2} k^2 + \frac{\lambda\beta}{2l} k = 1 - \frac{k^2}{\rho} + \beta \frac{k}{\rho}$ ,  $\rho = \frac{2l}{\lambda}$ , а  $C_3^k(y) = C_3^k(y_0, \dots, y_N)$  - формы третьей степени относительно  $y_k$ ,  $k = 1, \dots, N$ .

Подставим 3 и 4 в 1. Дифференцируя 3, учитывая 4, получим

$$\begin{aligned} \dot{\xi} = \xi_0 \cos t + \sum_{k=1}^N y_k \cos k\theta \cos t + \delta(\alpha_0 y_0 + C_3^0(y)) \sin t + \\ + \sum_{k=1}^N \delta(\alpha_k y_k + C_3^k(y)) \cos k\theta \sin t; \end{aligned}$$

$$\begin{aligned} \ddot{\xi} = -\xi_0 \sin t + \sum_{k=1}^N y_k \cos k\theta (-\sin t) + 2\delta(\alpha_0 y_0 + C_3^0(y)) \cos t + \\ + \sum_{k=1}^N 2\delta(\alpha_k y_k + C_3^k(y)) \cos k\theta \sin t + O(\delta^2). \end{aligned}$$

Отсюда, с точностью до порядка  $O(\delta^2)$ , имеет место равенство

$$\begin{aligned} 2\delta(\alpha_0 y_0 + C_3^0(y)) \cos t + \sum_{k=1}^N 2\delta(\alpha_k y_k + C_3^k(y)) \cos k\theta \cos t = \\ = 2\delta(\alpha_0 y_0 \cos t + \sum_{k=1}^N \alpha_k y_k \cos k\theta \cos t) \frac{4}{3} (y_0 \cos t + \sum_{k=1}^N y_k \cos k\theta \cos t). \end{aligned}$$

Приравняем теперь в полученном равенстве коэффициенты при одинаковых модах  $\cos t$ ,  $\cos k\theta \cos t$ .

В результате, однозначно находим выражение для  $C_3^k(y)$ ,  $k = 0, 1, \dots, N$ . Пользуясь пакетом «Mathematica», проводим численный анализ неподвижных точек, меняя  $\rho$  при фиксированном  $\beta$ , и находим спектр этих точек. Проводим данное действие для значений  $N = 3$  и  $N = 5$ . С изменением  $N$  меняется и

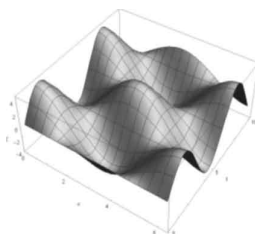


Рис. 1. Приближенное решение при  $\xi = 5$ ,  $n = 5$ ,  $b = 0.5$ .

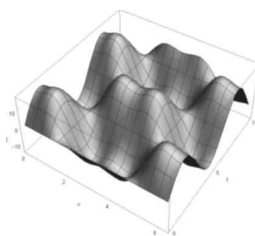


Рис. 2. Приближенное решение при  $\xi = 0.5$ ,  $n = 5$ ,  $b = 0.5$ .

количество уравнений в системе. Для других значений  $N$  система строится аналогично.

Далее приведем некоторые значения неподвижных точек и соответствующего им спектра при различных значениях параметра  $\rho$ :

$$\rho = 0.5 \quad (0., 2.684 * 10^{-16}, 0., 6.170 * 10^{-18}) \quad \{-31.995, -12.995, -1.995, 1.01\}$$

$$\rho = 0.8 \quad (0., 4.246, 0., -0.00845) \quad \{-11.318, -4.133, 0.743, -0.134\}$$

Как видно с увеличением бифуркационного параметра  $\rho$  неподвижных точек меняется. Положительная точка спектра переходит на отрицательную полуось, таким образом, соответствующее решение становится устойчивым.

На рис. 1 и рис.2 приведены графики найденных приближенных решений при различных  $\rho$ .

#### СПИСОК ЛИТЕРАТУРЫ

- [1] Алдушин А.П. *К феноменологической теории спинового горения* ДАН СССР, – 1980 – С. 1102-1106.
- [2] Алдушин А.П. *Феноменологическое описание нестационарных неоднородных волн горения* Физика горения и взрыва, – 1981 – С. 3-12.
- [3] Белан Е.П. *Автоколебательные режимы горения вдоль полосы* Динамические системы, – 2009 – С. 3-16.